AUSNUTZUNG VON PUFFERÜBERLÄUFEN UND UMGEHUNG VON SCHUTZMECHANISMEN

EIN TIEFER EINBLICK IN SPEICHERKORRUPTION, SCHWACHSTELLEN, AUSNUTZUNG UND SCHUTZMECHANISMEN

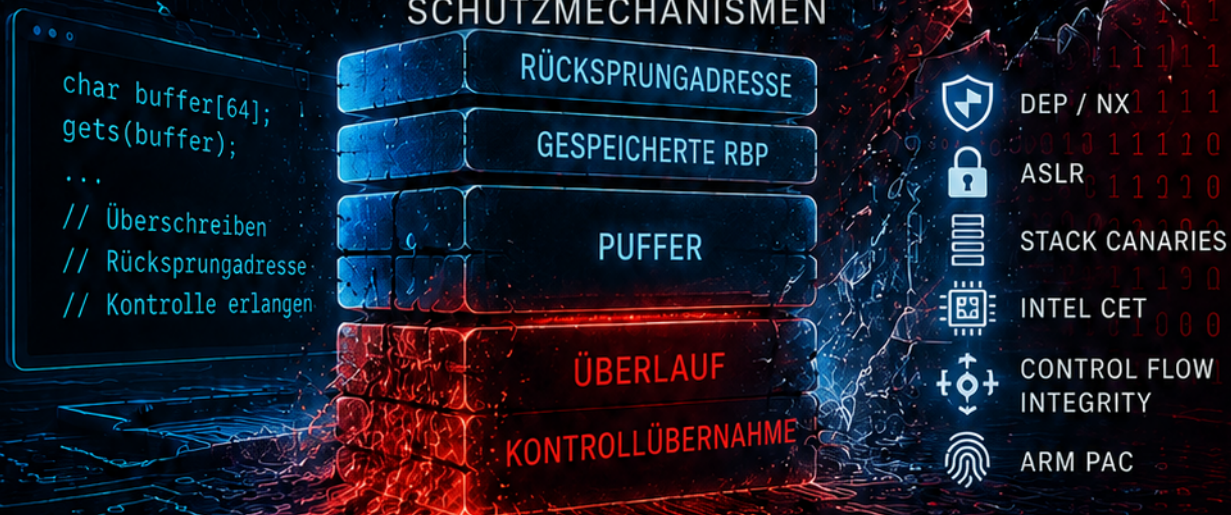

EXPLOIT ENTWICKLUNG | ROP / JOP SHELLCODE | SCHWACHSTELLEN FORSCHUNG | FUZZING & ANALYSE | SCHUTZ STRATEGIEN

STEVE T.

Ausnutzung von Pufferüberläufen und Umgehung von Schutzmechanismen

Ein tiefer Einblick in Speicherbeschädigungs-Schwachstellen, Ausnutzung und Verteidigung

Steve T. Publications

Dieses Buch wird verkauft unter
https://leanpub.com/ausnutzungvonpufferberlufenundumgehungvonschutzmechanismen

Diese Version wurde veröffentlicht am 2026-07-16

Inhaltsverzeichnis

Ein tiefer Einblick in Speicherbeschädigungs-Schwachstellen, Ausnutzung und Verteidigung

Über dieses Buch: Dieses Buch bietet eine umfassende, technisch fundierte Behandlung von Speicherbeschädigungs-Schwachstellen, von den Grundlagen der CPU-Architektur, die sie ermöglichen, bis hin zu den fortgeschrittenen Ausnutzungstechniken und modernen Verteidigungsmechanismen, die das heutige Sicherheitslandschaft prägen. Beginnend mit der Computer-Speicherarchitektur, der Prozessanordnung und den Grundlagen der Assemblersprache führt es durch stackbasierte und heapbasierte Pufferüberläufe, Use-After-Free, Format-String-Schwachstellen und verwandte Speicherbeschädigungsfehler. Das Buch behandelt Exploit-Entwicklungskonzepte einschließlich Shellcode, Return-Oriented Programming, Jump-Oriented Programming und Informationslecks auf beiden Plattformen Windows und Linux. Moderne Abschwächungsmechanismen wie DEP/NX, ASLR, Stack-Canaries, Intel CET, ARM PAC und Control Flow Integrity werden eingehend untersucht, zusammen mit dem fortwährenden Wettrüsten zwischen Ausnutzungsforschung und Verteidigungsmechanismen. Die letzten Kapitel befassen sich mit Vulnerabilitätsforschungsmethodologien, Fuzzing, sicheren Programmierpraktiken und Incident Response. Dieses Buch richtet sich an Sicherheitsprofis, Reverse Engineer, Schwachstellenforscher und fortgeschrittene Studierende, die Speicherbeschädigung auf der tiefsten Ebene zu Verteidigungszwecken verstehen möchten. Alle beschriebenen Techniken werden im Kontext ethischer Sicherheitsforschung und verantwortungsvoller Offenlegung dargestellt.

Einleitung

Im November 1988 veröffentlichte ein Doktorand an der Cornell University namens Robert Morris ein Programm, das als der Morris-Wurm bekannt werden sollte — der erste große Computewurm, der sich über das Internet ausbreitete. Der Wurm nutzte eine Pufferüberlauf-Schwachstelle im fingerd-Daemon aus, einem Dienst, der auf Tausenden von Unix-Systemen lief. Indem er mehr Daten sendete, als der festgelegte Puffer des Programms aufnehmen konnte, überschrieb der Wurm die Rückkehradresse auf dem Call Stack und erreichte eine Ferncodeausführung. Schätzungsweise 10 Prozent aller zum damaligen Zeitpunkt mit dem Internet verbundenen Computer wurden infiziert, was zu weitreichenden Störungen führte und effektiv das moderne Feld der Computersicherheit begründete.

Mehr als drei Jahrzehnte später gehören Pufferüberlauf-Schwachstellen nach wie vor zu den gefährlichsten Klassen von Softwarefehlern. Die Common Vulnerabilities and Exposures-Datenbank listet jedes Jahr Tausende von CVE-Einträgen für Schreibzugriffe außerhalb der Grenzen, Use-After-Free-Bedingungen, Heap-Überläufe und verwandte Speicherbeschädigungsfehler auf. Moderne Betriebssysteme setzen eine Palette von Verteidigungsmechanismen ein, um diesen Angriffen entgegenzuwirken: nicht ausführbare Speicherseiten, Adressraum-Zufälligkeit (ASLR), Stack-Canaries, Control Flow Integrity und hardwarebasierte Schutzmaßnahmen wie Intels Control-Flow Enforcement Technology und ARMs Pointer Authentication Codes. Dennoch finden Angreifer weiterhin Wege um jede neue Schicht herum, und das Wettrüsten zwischen Exploit-Techniken und Abschwächungsmechanismen zeigt keine Anzeichen von Nachlassen.

Dieses Buch existiert, weil das Verständnis von Speicherbeschädigung auf fundamentaler Ebene für jeden, der sich mit Software-Sicherheit befasst, unerlässlich ist. Verteidigende Fachleute, die nicht nachvollziehen können, wie ein Angreifer einen Stack-Overflow, eine Heap-Manipulation und eine Return-Oriented Programming-Nutzlast miteinander verknüpfen könnte, werden Schwierigkeiten haben, wirksame Schutzmaßnahmen zu entwerfen. Schwachstellenforscher benötigen tiefgreifende Kenntnisse über Speicheranordnungen, Allocator-Innenleben und Aufrufkonventionen, um neue Fehler zu entdecken und verantwortungsvoll offenzulegen. Reverse Engineer, die Malware analysieren, müssen Ausnutzungsprimitive verstehen, um deren Fähigkeiten einzuschätzen. Selbst Anwendungsprogrammierer profitieren davon zu wissen, warum bestimmte Programmiermuster gefährlich sind und wie Compiler-Härtungsflags tatsächlich im Inneren funktionieren.

Das Buch ist als eine fortschreitende Reise von den Grundlagen zu fortgeschrittenen Techniken aufgebaut. Die frühen Kapitel legen den Hardware- und Betriebssystemkontext: wie CPUs mit Speicher interagieren, wie Prozesse im virtuellen Adressraum angeordnet sind, was Assembly-Befehle auf Register-Ebene tun und wie Aufrufkonventionen Funktionsaufrufe über Plattformen hinweg steuern. Ohne diese Grundlage wären spätere Diskussionen zur Ausnutzung nicht fundiert.

Die mittleren Kapitel tauchen in spezifische Schwachstellenklassen und Ausnutzungstechniken ein. Stackbasierte Pufferüberläufe erhalten eine detaillierte Behandlung als grundlegender Speicherbeschädigungsfehler, gefolgt von Heap-Ausnutzung, die aufgrund der Allocator-Innenleben erheblich komplexer ist. Verwandte Schwachstellentypen einschließlich Off-by-One-Fehlern, Use-After-Free, Double-Free, Format-String-Mängeln, Integer-Overflows und Race Conditions werden systematisch behandelt. Exploit-Entwicklungskonzepte wie Shellcode-Konstruktion, Control-Flow-Übernahme, Return-Oriented Programming, Jump-Oriented Programming und Sigreturn-Oriented Programming bauen auf diesen Grundlagen auf. Informationslecks und AdressoffenlegungsTechniken, die ASLR besiegen, erhalten ihr eigenes fokussiertes Kapitel.

Die späteren Kapitel verlagern sich in Richtung Verteidigung. Moderne Abschwächungsmechanismen werden einzeln untersucht: wie DEP/NX auf Hardware-Ebene funktioniert, wie ASLR Entropie bereitstellt und wo es an Grenzen stößt, wie Stack-Canaries Beschädigungen erkennen, bevor sie sich ausbreiten, wie PIE und RELRO Codeabschnitte schützen und wie Control Flow Integrity-Implementierungen in LLVM, Intel CET, Microsoft CFG und ARM PAC Control-Flow-Transfers einschränken. Ein dediziertes Kapitel behandelt das historische Wettrüsten zwischen jedem Abschwächungsmechanismus und seinen Umgehungstechniken, denn zu verstehen, welche Verteidigungen gescheitert sind, ist genauso wichtig wie zu verstehen, wovor sie schützen.

Die letzten Kapitel befassen sich mit dem weiteren Ökosystem: Schwachstellenforschungsmethodologien einschließlich Fuzzing-Strategien und Crash-Triage, sichere Programmierpraktiken und Compiler-Härtungsoptionen sowie Exploit-Erkennung, Incident Response und forensische Analyse für Verteidiger, die auf aktive Ausnutzungen in Produktionsumgebungen reagieren.

Durch das gesamte Buch hindurch werden Code-Beispiele in C mit begleitenden Assembly-Auflistungen bereitgestellt, um zu veranschaulichen, wie Schwachstellen auf Instruktionsebene manifestiert werden. Speicherdiagramme zeigen die Datenanordnung vor und nach der Beschädigung. Debugger-Ausgaben demonstrieren praktische Analyse-Workflows. Cross-Platform-Vergleiche zwischen Linux und Windows heben sowohl gemeinsame Prinzipien als auch plattformspezifische Nuancen hervor. Wo akademische Forschung das Verständnis geprägt hat, werden Verweise auf veröffentlichte Papers und

Konferenzbeiträge bereitgestellt.

Einige wichtige Hinweise sind notwendig. Dieses Buch beschreibt Ausnutzungstechniken zu Bildungs- und Verteidigungszwecken. Der Autor unterstützt nachdrücklich ethische Sicherheitsforschung und verantwortungsvolle Offenlegung von Schwachstellen. Leser, die Speicherbeschädigungsfehler in Software entdecken, der sie nicht besitzen, sollten etablierte Prozesse der verantwortungsvollen Offenlegung befolgen: den Anbieter privat benachrichtigen, eine angemessene Zeit für die Entwicklung einer Lösung gewähren und Details erst nach dem Patchen der Schwachstelle veröffentlichen. Die Verwendung von Ausnutzungstechniken gegen Systeme ohne ausdrückliche Genehmigung ist in den meisten Rechtsordnungen illegal und unter allen Umständen unethisch.

Das Buch setzt Vertrautheit mit grundlegendem C-Programmieren voraus, einschließlich Zeigern, Arrays, Structs und dynamischer Speicherallokation mit malloc und free. Keine vorherige Erfahrung mit Assemblersprache oder Exploit-Entwicklung ist erforderlich; diese Themen werden von Grund auf aufgebaut. Der Fokus liegt auf der x86_64-Architektur als dominanter Desktop- und Serverplattform, wobei ARM64 dort diskutiert wird, wo es für mobile und eingebettete Kontexte relevant ist. Linux und Windows dienen als primäre Betriebssysteme für Beispiele, obwohl viele Konzepte allgemein anwendbar sind.

Am Ende dieses Buches werden Leser Speicherbeschädigung nicht als eine Sammlung isolierter Tricks verstehen, sondern als ein kohärentes Feld, das in Computerarchitektur, Betriebssystemdesign und Software-Engineering verwurzelt ist. Dieses Verständnis ist die Grundlage, auf der sowohl effektive offensive Forschung als auch robuste defensive Ingenieurarbeit aufgebaut sind.

Kapitel 1: Computer-Speicherarchitektur und CPU-Grundlagen

Das Verständnis von Speicherbeschädigung erfordert das Verständnis der Hardware, die sie ermöglicht. Jeder Pufferüberlauf, jedes Use-After-Free, jeder Format-String-Exploit nutzt letztlich eine Diskrepanz zwischen dem aus, was ein Programm über die Speicheranordnung annimmt, und der Art, wie die CPU Daten tatsächlich verarbeitet. Dieses Kapitel legt die architektonische Grundlage.

Die Von-Neumann-Architektur und Speicheradressierung

Moderne Computer folgen der von-Neumann-Architektur, vorgeschlagen von John von Neumann im Jahr 1945. In diesem Modell teilen sich Anweisungen und Daten denselben Speicherbereich und werden über denselben Bus zugegriffen [9]. Die CPU holt Anweisungen aus dem Speicher, decodiert sie, führt sie aus und speichert die Ergebnisse zurück in den Speicher. Dieses einheitliche Speichermodell ist sowohl die Quelle der Flexibilität des Computings als auch seine fundamentale Sicherheitsanfälligkeit: Wenn Daten an einer Stelle platziert werden können, an der die CPU Anweisungen zu finden erwartet, kann ein Angreifer beliebigen Code ausführen, indem er Daten beschädigt.

Der Speicher ist als lineares Array adressierbarer Bytes organisiert. Jedes Byte hat eine eindeutige numerische Adresse beginnend bei null. Auf einem 32-Bit-System reichen die Adressen von 0x00000000 bis 0xFFFFFFFF (4 Gigabyte). Auf einem 64-Bit-System erstreckt sich der theoretische Bereich bis zu 2^64 Bytes (16 Exabyte), obwohl praktische Implementierungen weniger Adressbits verwenden; x86_64 verwendet derzeit 48 virtuelle Adressbits und bietet einen 256-Terabyte-Adressraum pro Prozess.

Die CPU greift über drei miteinander verbundene Bussysteme auf den Speicher zu, die bei jeder Speicheroperation zusammenarbeiten. Der Adressbus übermittelt die Speicheradresse, von der die CPU lesen oder in die sie schreiben möchte, und fließt unidirektional vom Prozessor zum Speichersubsystem. Bei x86_64 bestimmt die Breite

des Adressbusses, wie viele eindeutige physische Adressen die CPU erreichen kann. Der Datenbus überträgt die tatsächlich übertragenen Bytes und arbeitet bidirektional: während eines Lesevorgangs fließen die Daten vom Speicher zur CPU; beim Schreiben fließen sie in die entgegengesetzte Richtung. Der Steuerbus koordiniert die Übertragung, indem er Timing- und Steuersignale übermittelt, die angeben, ob die aktuelle Operation ein Lesen oder Schreiben ist, ob das Speichersubsystem bereit ist, Daten anzunehmen, und wann die Übertragung abgeschlossen ist.

Während eines Pufferüberlauf-Exploits sind diese Bussysteme während des gesamten Angriffs aktiv. Wenn der überlaufende `strcpy`-Aufruf über die Puffergrenze hinaus schreibt, reist jedes Byte über den Datenbus zu seiner Zieladresse auf dem Stack. Der Adressbus liefert zunehmend höhere Stack-Adressen, während die Kopieroperation vom Puffer in den gespeicherten Frame-Pointer und die Rückkehradresse fortschreitet. Ein Angreifer, der die Überlaufdaten kontrolliert, kontrolliert effektiv, welche Werte über diese Bussysteme übertragen werden, und damit auch, was die CPU später lesen wird, wenn sie eine RET-Anweisung ausführt. Das Verständnis dieses Hardware-Datenflusses verdeutlicht, warum Speicherbeschädigung direkt in Control-Flow-Hijacking übersetzt wird: Die CPU hat keine Möglichkeit, legitime Stack-Daten von angreiferseitig bereitgestellten Bytes zu unterscheiden, die zufällig wie gültige Adressen aussehen.

Die Speicheradressierung in x86_64 unterstützt mehrere Modi. Die Immediate-Adressierung (Unmittelbare Adressierung) bettet einen konstanten Wert direkt in die Anweisung ein. Die Register-Adressierung verwendet den Inhalt eines Registers als Operand. Die direkte Speicheradressierung gibt eine absolute Adresse an. Am häufigsten wird die Basis-plus-Versatz-Adressierung verwendet, die eine effektive Adresse berechnet, indem sie einen Versatz zum Wert in einem Basisregister addiert, optional skaliert durch ein Indexregister und einen Faktor von 1, 2, 4 oder 8. Dieser letzte Modus ist der Zugang zu Arrays: das Basisregister enthält die Startadresse des Arrays, das Indexregister die Elementnummer und der Skalierungsfaktor berücksichtigt die Elementgröße.

CPU-Register und ihre Rollen

Register sind kleine, schnelle Speicherorte innerhalb der CPU selbst. Sie sind um Größenordnungen schneller als der Hauptspeicher, da sie auf dem Prozessorchip reside. Jede Anweisung in Assemblersprache arbeitet mit Registern oder mit Speicher, der über Register adressiert wird. Für die Exploit-Entwicklung ist es entscheidend zu verstehen, was jedes Register tut und wie es von der Aufrufkonvention verwendet wird.

Die x86_64-Architektur stellt sechzehn allgemeine 64-Bit-Register bereit [13, 91]:

RAX (Akku): Traditionell für arithmetische Operationen und Funktionsrückgabewerte verwendet. In Syscall-Schnittstellen enthält RAX die Systemaufrufnummer. Der Name leitet sich von AX (16-Bit) ab, das wiederum von AL und AH (8-Bit-niedrig und hoch) abstammt. Das Schreiben in das 32-Bit-EAX setzt die oberen 32 Bits von RAX auf null, eine Eigenschaft, die in Shellcode genutzt wird, um nullbytefreie Payloads zu erzeugen.

RBX (Basis): Oft als Basiszeiger für den Datenzugriff verwendet. In der System V AMD64 ABI ist RBX ein callee-saved Register; Funktionen, die es modifizieren, müssen seinen ursprünglichen Wert vor der Rückkehr wiederherstellen.

RCX (Zähler): Historisch als Schleifenzähler in String- und Wiederholungsanweisungen verwendet. In der Windows x64-Aufrufkonvention enthält RCX das erste Funktionsargument.

RDX (Daten): Wird für E/A-Operationen und als sekundärer Akku für Multiplikations- und Divisionsresultate verwendet (Erzeugung von 128-Bit-Ergebnissen, die über RDX:RAX gespeichert werden).

RSI (Quellenindex) und RDI (Zielindex): Werden in String-Operationen verwendet, um Quell- und Zieladressen anzugeben. In der System V AMD64 ABI halten RSI und RDI das erste bzw. zweite Funktionsargument.

RSP (Stack-Pointer): Zeigt auf die Spitze des aktuellen Stack-Frames. Der Stack wächst bei x86 nach unten, sodass das Pushen eines Werts RSP dekrementiert. Dieses Register ist zentral für die Ausnutzung, da die Kontrolle über RSP bedeutet, zu kontrollieren, welche Daten die CPU liest, wenn sie Rückkehranweisungen ausführt.

RBP (Basis-Pointer / Frame-Pointer): Konventionell als stabiler Referenzpunkt innerhalb eines Stack-Frames verwendet. Obwohl der Compiler es mit dem Flag `-fomit-frame-pointer` optimieren kann, verwenden die meisten Debug-Builds und viele Produktionsbuilds RBP nach wie vor, um eine verknüpfte Kette von Stack-Frames zu erstellen, die Backtrace-Funktionalität ermöglicht.

R8 bis R15: Acht zusätzliche allgemeine Register, die in der 64-Bit-Erweiterung hinzugefügt wurden. In der System V ABI halten R8 und R9 das fünfte und sechste Funktionsargument. Auf Windows x64 halten R8 und R9 das dritte und vierte Argument.

Neben den allgemeinen Registern sind mehrere Sonderzweck-Register relevant:

RIP (Instruktionszeiger): Enthält die Adresse der nächsten auszuführenden Anweisung. Dies ist das primäre Ziel von Control-Flow-Hijacking-Angriffen. Im Gegensatz zu anderen Registern kann RIP nicht direkt beschrieben werden; er wird nur durch call-, jump-, return- und Interrupt-Anweisungen modifiziert. Die Kontrolle über RIP bedeutet die Kontrolle über die Programmausführung.

RFLAGS (Flags-Register): Enthält Bedingungen-Codes, die durch arithmetische und logische Operationen gesetzt werden: Zero Flag (ZF) für Null-Ergebnisse, Carry Flag (CF) für Überlauf über die Registerbreite hinaus, Sign Flag (SF) für negative Ergebnisse, Overflow Flag (OF) für vorzeichenbehafteten Überlauf und Direction Flag (DF), das die Richtung von String-Operationen steuert. Bedingte Sprunganweisungen testen diese Flags, um zu entscheiden, ob eine Verzweigung erfolgen soll.

Instruktionsexekution und der Fetch-Decode-Execute-Zyklus

Die CPU führt Anweisungen in einem sich wiederholenden Zyklus aus:

Fetch (Holen): Die CPU liest die nächste Anweisung aus dem Speicher an der in RIP gespeicherten Adresse. Bei x86_64 sind Anweisungen variabler Länge (1 bis 15 Bytes), sodass die CPU das erste Byte decodieren muss, um die Instruktionlänge zu bestimmen, bevor sie RIP zur nächsten Anweisung fortschalten kann.

Decode (Decodieren): Die geholten Bytes werden in interne Mikrooperationen übersetzt, die die Ausführungseinheiten verstehen. Moderne Out-of-Order-Prozessoren können mehrere Anweisungen pro Zyklus decodieren und sie für die parallele Ausführung neu anordnen.

Execute (Ausführen): Die decodierte Operation wird durchgeführt. Dies kann das Lesen von Operanden aus Registern oder Speicher, das Ausführen von Arithmetik in der ALU, das Vergleichen von Werten oder das Aktualisieren von Flags umfassen.

Write-back (Zurückschreiben): Ergebnisse werden in Zielregister oder Speicher zurückgeschrieben.

Commit (Festlegen): Bei Out-of-Order-Prozessoren werden Ergebnisse in Programmreihenfolge an den architekturspezifischen Zustand übermittelt, wodurch sichergestellt wird, dass das beobachtbare Verhalten der sequentiellen Ausführung entspricht, selbst wenn Anweisungen out-of-order ausgeführt wurden.

Für die Ausnutzung ist der entscheidende Gesichtspunkt, dass die CPU jeder Adresse vertraut, auf die RIP zeigt. Es gibt keine inhärente Unterscheidung zwischen „legitimem“ und „bösartigem“ Code auf Hardware-Ebene. Wenn ein Pufferüberlauf eine Rückkehradresse auf dem Stack überschreibt und der überschriebene Wert zufällig auf angreiferkontrollierte Daten mit gültigen Instruktionsbytes zeigt, wird die CPU diese Bytes ohne Zweifel ausführen. Dies ist die fundamentale Prämisse aller Code-Ausführungs-Exploits.

Mehrere x86_64-Anweisungen sind für die Exploit-Entwicklung besonders relevant:

- **MOV**: Kopiert Daten zwischen Registern, Speicher und Immediate-Werten.
- **PUSH / POP**: Schiebt einen Wert auf den Stack (Dekrementieren von RSP) oder entnimmt einen Wert vom Stack (Inkrementieren von RSP).
- **CALL**: Schiebt den aktuellen RIP auf den Stack und springt zu einer Zieladresse. Wird für Funktionsaufrufe verwendet.
- **RET**: Entnimmt die Spitze des Stacks in RIP. Dies ist die Anweisung, die Return-Oriented Programming-Gadgets miteinander verkettet.
- **JMP**: Unbedingter Sprung zu einer Zieladresse. Wird in Jump-Oriented Programming verwendet.
- **XOR / AND / OR**: Bitweise logische Operationen, häufig in Shellcode für nullbytefreie Wertinitialisierung verwendet.
- **LEA (Load Effective Address)**: Berechnet eine Adresse, ohne tatsächlich auf den Speicher zuzugreifen. Nützlich für Arithmetik und zum Erhalten des aktuellen RIP in positionsunabhängigem Code.
- **SYSCALL / INT 0x80**: Übergang vom User-Modus in den Kernel-Modus zur Auslösung eines Systemaufrufs.

Endianess und Datenrepräsentation

Die Endianess bestimmt die Byte-Reihenfolge, in der mehrbyte-Werte im Speicher gespeichert werden. x86_64 verwendet Little-Endian-Reihenfolge: das am wenigsten signifikante Byte wird an der niedrigsten Adresse gespeichert. Zum Beispiel wird der 64-Bit-Wert 0x4142434445464748 wie folgt gespeichert:

Adresse	Byte
0x1000	0x48 (‘H’)
0x1001	0x47 (‘G’)
0x1002	0x46 (‘F’)
0x1003	0x45 (‘E’)
0x1004	0x44 (‘D’)
0x1005	0x43 (‘C’)
0x1006	0x42 (‘B’)
0x1007	0x41 (‘A’)

Bei der Ausnutzung von Pufferüberläufen ist die Endianess relevant, weil der Angreifer mehrbyte-Werte (wie Rückkehradressen) in der korrekten Byte-Reihenfolge bereitstellen

muss. Ein Little-Endian-System erfordert die Adressbytes in umgekehrter Reihenfolge im Vergleich zu ihrer gedruckten Darstellung.

Dies betrifft auch partielle Überschreibungen. Wenn ein Angreifer nur das am wenigsten signifikante Byte eines 64-Bit-Pointers überschreiben kann, befindet sich dieses Byte auf einem Little-Endian-System an der niedrigsten Adresse und repräsentiert die niederwertigsten 8 Bits des Werts. Auf einem Big-Endian-System würde dasselbe Byte die höchstwertigsten 8 Bits repräsentieren.

Privilegbenen und Ring-Architektur

x86-Prozessoren implementieren vier Privileglevels, genannt Rings 0 bis 3, wobei Ring 0 das höchste und Ring 3 das niedrigste Privileg besitzt. Moderne Betriebssysteme verwenden typischerweise nur zwei:

- **Ring 0 (Kernel-Modus)**: Der Betriebssystemkern läuft hier. Er hat uneingeschränkten Zugriff auf alle Hardware, Speicher und CPU-Funktionen. Kernel-Mode-Code kann jede physische Speicheradresse lesen und schreiben, Page-Table-Einträge modifizieren und privilegierte Anweisungen wie CLI (Interrupt-Flag löschen) und LGDT (Global Descriptor Table laden) ausführen.
- **Ring 3 (User-Modus)**: Anwendungsprogramme laufen hier. User-Mode-Code kann nicht direkt auf Hardware oder Kernel-Speicher zugreifen. Versuche, privilegierte Anweisungen auszuführen oder Kernel-Adressen zuzugreifen, führen zu einem General Protection Fault, den der Kernel durch Beendigung des verursachenden Prozesses behandelt.

Der Übergang zwischen Rings wird durch die Hardware gesteuert. Systemaufrufe verwenden die SYSCALL-Anweisung (x86_64) oder INT 0x80 (legacy x86), um von Ring 3 zu Ring 0 zu wechseln. Interrupts und Ausnahmen verursachen ebenfalls Ring-Übergänge. Die CPU speichert den aktuellen Zustand, einschließlich RIP und RFLAGS, auf dem Kernel-Stack, bevor sie die Kontrolle an den Kernel-Handler übergibt.

Diese Privilegtrennung ist relevant für die Ausnutzung, weil User-Mode-Exploits durch das eingeschränkt sind, was sie in Ring 3 tun können. Ein erfolgreicher Pufferüberlauf in einer Benutzeranwendung kann den Control Flow dieses Prozesses kapern, aber nicht direkt auf den Speicher anderer Prozesse oder Kernel-Daten zugreifen. Um Privilegien zu eskalieren, muss ein Angreifer eine Schwachstelle im Kernel selbst ausnutzen (einen Kernel-Mode-Pufferüberlauf) oder einen Weg finden, die Systemaufruf-Schnittstelle zu missbrauchen.

Speicherabbildung auf Hardware-Ebene

Die Memory Management Unit (MMU) ist ein Hardwarekomponent, der von Software verwendete virtuelle Adressen in von RAM verwendete physische Adressen übersetzt [11]. Die MMU verwendet Page Tables (Seitentabellen), die hierarchische Datenstrukturen sind, die vom Betriebssystem verwaltet werden, um diese Übersetzung durchzuführen [10, 14].

Auf x86_64 mit 4-stufigem Paging wird eine 48-Bit-Virtuelle-Adresse wie folgt aufgeteilt:

- Bits 47:39 (9 Bits): Index in die Page Map Level 4 (PML4)-Tabelle
- Bits 38:30 (9 Bits): Index in die Page Directory Pointer Table (PDPT)
- Bits 29:21 (9 Bits): Index in das Page Directory (PD)
- Bits 20:12 (9 Bits): Index in die Page Table (PT)
- Bits 11:0 (12 Bits): Versatz innerhalb der 4-KiB-Seite

Jede Page-Table-Ebene enthält 512 Einträge (2^9), und jeder Eintrag ist 8 Bytes groß. Die CPU durchläuft diese Tabellen, beginnend von einem Root-Pointer, der im CR3-Register gespeichert ist, um den der virtuellen Adresse entsprechenden physischen Frame zu finden.

Jeder Page Table Entry (PTE) enthält nicht nur die physische Framenummer, sondern auch Berechtigungsflags:

- **Present (P)**: Ob sich die Seite derzeit im physischen Speicher befindet
- **Read/Write (R/W)**: Ob Schreibzugriffe erlaubt sind
- **User/Supervisor (U/S)**: Ob User-Mode-Code auf die Seite zugreifen kann
- **Execute Disable (NX/XD)**: Ob die Codeausführung von dieser Seite aus gestattet ist

Das NX-Bit, das x86_64 in ARMs erweiterten Page Tables und Intels Execute Disable Feature hinzugefügt wurde, ist die Hardware-Grundlage für DEP [5, 6]. Wenn das NX-Bit in einem Page-Table-Eintrag gesetzt ist, löst jeder Versuch, Anweisungen von dieser Seite auszuführen, einen Protection Fault aus. Dies verhindert, dass Shellcode, der auf dem Stack oder Heap platziert wurde, direkt ausgeführt wird.

Der Translation Lookaside Buffer (TLB) cacht recente virtuelle-zu-physische-Übersetzungen, um den mehrstufigen Page-Table-Walk bei jedem Speicherzugriff zu vermeiden. Der TLB ist typischerweise klein (64 bis 128 Einträge auf modernen Prozessoren), sodass er nur einen Teil der Abbildungen eines Prozesses hält. Wenn der TLB verfehlt (miss), führt die CPU einen Hardware-Page-Walk durch, der Dutzende von Zyklen dauert.

Das Verständnis von Page-Level-Berechtigungen ist für die Ausnutzung unerlässlich, weil viele Techniken vom Finden von Speicherbereichen mit spezifischen

Berechtigungskombinationen abhängen. Return-Oriented Programming funktioniert genau deshalb, weil ausführbare Code-Seiten (der Textsegment) bereits als ausführbar markiert sind; der Angreifer wiederverwendet vorhandenen Code, anstatt neuen Code in schreibbare, aber nicht ausführbare Bereiche einzuspeisen.

Kapitel 2: Prozess-Speicheranordnung und Betriebssystem-Speicherverwaltung

Virtueller Speicher und Adressübersetzung

Die Text-, Data-, BSS-, Heap- und Stack-Segmente

Shared Libraries und dynamisches Linking

Speicherallokation: malloc, free und der Allocator

Page Tables und die MMU

Cross-Platform-Unterschiede: Linux vs. Windows-Speicheranordnung

Kapitel 3: Grundlagen der Assemblersprache und Aufrufkonventionen

Überblick über den x86- und x86_64-Befehlssatz

Häufige Befehle für die Exploit-Entwicklung

Der Stapelrahmen: Prolog, Epilog und lokale Variablen

System V AMD64 ABI-Aufrufkonvention

Windows x64-Aufrufkonvention

Positionsunabhängiger Code und Relokationen

Kapitel 4: Debugging-Workflows und Grundlagen der Binäranalyse

Dieser Inhalt ist in der Leseprobe nicht verfügbar. Das Buch kann bei Leanpub unter https://leanpub.com/ausnutzungvonpufferberlufenundumgehungvonschutzmechanismen gekauft werden.

GDB-Grundlagen für die Sicherheitsforschung

Dieser Inhalt ist in der Leseprobe nicht verfügbar. Das Buch kann bei Leanpub unter https://leanpub.com/ausnutzungvonpufferberlufenundumgehungvonschutzmechanismen gekauft werden.

WinDbg, x64dbg und Mona.py unter Windows

Dieser Inhalt ist in der Leseprobe nicht verfügbar. Das Buch kann bei Leanpub unter https://leanpub.com/ausnutzungvonpufferberlufenundumgehungvonschutzmechanismen gekauft werden.

Speicherinspektion und Haltepunkt-Strategien

Dieser Inhalt ist in der Leseprobe nicht verfügbar. Das Buch kann bei Leanpub unter https://leanpub.com/ausnutzungvonpufferberlufenundumgehungvonschutzmechanismen gekauft werden.

Reverse Engineering mit radare2 und Ghidra

Dieser Inhalt ist in der Leseprobe nicht verfügbar. Das Buch kann bei Leanpub unter https://leanpub.com/ausnutzungvonpufferberlufenundumgehungvonschutzmechanismen gekauft werden.

Statische Analyse: objdump, readelf und PE-Tools

Dynamische Analyse und Instrumentierung mit Frida

Kapitel 5: Stapelbasierte Pufferüberläufe

Anatomie eines stapelbasierten Überlaufs

Überschreiben der Rücksprungadresse und Entführung des Kontrollflusses

Finden des Offsets: Mustererstellung und Absturzanalyse

NOP-Sleds und Shellcode-Platzierung

Umgebungsvariablen und Stack Spraying

Auswirkungen auf Windows- und Linux-Systeme

Durchgang: Kompletter Stapelüberlauf-Exploit mit Shellcode-Injektion

Verwundbares Programm

Schritt 1: Kompilieren mit deaktivierten Schutzmechanismen

Schritt 2: Offset mit GDB und zyklischem Muster finden

Schritt 3: Stapeladresse für Shellcode finden

Schritt 4: Shellcode vorbereiten

Schritt 5: Python-Exploit-Skript

Schritt 6: In GDB verifizieren

Wichtige Beobachtungen

Kapitel 6: Heap-basierte Pufferüberläufe und Heap-Manipulation

Wie Memory-Allocatoren funktionieren: glibc ptmalloc und Windows Heap

Heap Chunk Metadaten und Freilistenverwaltung

Heap-Overflow-Exploitation-Techniken

Bin-Sortierung und Konsolidierungsangriffe

House of Force, House of Spirit und benannte Heap-Techniken

Walkthrough: Fastbin-Angriff mit Arbitrary Write Primitive

Verwundbares Programm

Exploit-Strategie: Fastbin-Angriff zum Überschreiben von __free_hook

Erforderliche Adressen mit GDB finden

Python-Exploit-Skript (pwntools)

Verifizierung des Exploits mit GDB

Kapitel 7: Verwandte Speicher-Korruptions-Schwachstellen

Dieser Inhalt ist in der Leseprobe nicht verfügbar. Das Buch kann bei Leanpub unter https://leanpub.com/ausnutzungvonpufferberlufenundumgehungvonschutzmechanismen gekauft werden.

Off-by-One-Fehler und ihre Ausnutzung

Dieser Inhalt ist in der Leseprobe nicht verfügbar. Das Buch kann bei Leanpub unter https://leanpub.com/ausnutzungvonpufferberlufenundumgehungvonschutzmechanismen gekauft werden.

Integer-Überläufe, die zu Speicher-Korruption führen

Dieser Inhalt ist in der Leseprobe nicht verfügbar. Das Buch kann bei Leanpub unter https://leanpub.com/ausnutzungvonpufferberlufenundumgehungvonschutzmechanismen gekauft werden.

Use-After-Free-Schwachstellen

Dieser Inhalt ist in der Leseprobe nicht verfügbar. Das Buch kann bei Leanpub unter https://leanpub.com/ausnutzungvonpufferberlufenundumgehungvonschutzmechanismen gekauft werden.

Double-Free und Freigabe-Pointer-Manipulation

Dieser Inhalt ist in der Leseprobe nicht verfügbar. Das Buch kann bei Leanpub unter https://leanpub.com/ausnutzungvonpufferberlufenundumgehungvonschutzmechanismen gekauft werden.

Format-String-Schwachstellen

Zugriff außerhalb der Grenzen (Out-of-Bounds Reads and Writes)

Race Conditions, die die Speicher-Sicherheit beeinflussen

Walkthrough: Tcache-Vergiftungs-UAF mit Vtable-Überschreibung

Anfälliges Programm

Ausnutzungsstrategie: Tcache-Vergiftung zur Vtable-Überschreibung

Erforderliche Adressen mit GDB finden

Python-Exploit-Skript (pwntools)

Verifizierung in GDB

Walkthrough: Format-String-Beliebiges-Schreiben via GOT-Überschreibung

Anfälliges Programm

Ausnutzungsstrategie: Libc leaken, GOT überschreiben

Erforderliche Adressen finden

Python-Exploit-Skript (pwntools)

Verifizierung in GDB

Kapitel 8: Shellcode-Grundlagen und Kontrollflussentführung

Was ist Shellcode und warum ist er wichtig

Schreiben positionsunabhängigen Shellcodes

Syscall-basierter Shellcode für Linux

Windows-API-Auflösung und LoadLibrary-Techniken

Nullbyte-Handhabung und Kodierung

Dieser Inhalt ist in der Leseprobe nicht verfügbar. Das Buch kann bei Leanpub unter https://leanpub.com/ausnutzungvonpufferberlufenundumgehungvonschutzmechanismen gekauft werden.

Polymorphe und kodierte Payloads

Dieser Inhalt ist in der Leseprobe nicht verfügbar. Das Buch kann bei Leanpub unter https://leanpub.com/ausnutzungvonpufferberlufenundumgehungvonschutzmechanismen gekauft werden.

Schritt-für-Schritt-Anleitung: Shellcode in einem Stack-Overflow erstellen und ausführen

Dieser Inhalt ist in der Leseprobe nicht verfügbar. Das Buch kann bei Leanpub unter https://leanpub.com/ausnutzungvonpufferberlufenundumgehungvonschutzmechanismen gekauft werden.

Verwundbares Programm

Dieser Inhalt ist in der Leseprobe nicht verfügbar. Das Buch kann bei Leanpub unter https://leanpub.com/ausnutzungvonpufferberlufenundumgehungvonschutzmechanismen gekauft werden.

Shellcode: execve(“/bin/sh”)

Dieser Inhalt ist in der Leseprobe nicht verfügbar. Das Buch kann bei Leanpub unter https://leanpub.com/ausnutzungvonpufferberlufenundumgehungvonschutzmechanismen gekauft werden.

Offset-Ermittlung mit GDB

Dieser Inhalt ist in der Leseprobe nicht verfügbar. Das Buch kann bei Leanpub unter https://leanpub.com/ausnutzungvonpufferberlufenundumgehungvonschutzmechanismen gekauft werden.

Python-Exploit-Skript

Verifizierung in GDB

Kapitel 9: Return-Oriented Programming und Code-Wiederverwendungsangriffe

Dieser Inhalt ist in der Leseprobe nicht verfügbar. Das Buch kann bei Leanpub unter https://leanpub.com/ausnutzungvonpufferberlufenundumgehungvonschutzmechanismen gekauft werden.

Das Problem, das DEP löste, und die ROP-Lösung

Dieser Inhalt ist in der Leseprobe nicht verfügbar. Das Buch kann bei Leanpub unter https://leanpub.com/ausnutzungvonpufferberlufenundumgehungvonschutzmechanismen gekauft werden.

Aufbau von ROP-Ketten: Gadgets, Pivots und Register

Dieser Inhalt ist in der Leseprobe nicht verfügbar. Das Buch kann bei Leanpub unter https://leanpub.com/ausnutzungvonpufferberlufenundumgehungvonschutzmechanismen gekauft werden.

Gadgets mit ropper und ROPgadget finden

Dieser Inhalt ist in der Leseprobe nicht verfügbar. Das Buch kann bei Leanpub unter https://leanpub.com/ausnutzungvonpufferberlufenundumgehungvonschutzmechanismen gekauft werden.

ROP unter Linux: Systemaufruf-Konstruktion

Dieser Inhalt ist in der Leseprobe nicht verfügbar. Das Buch kann bei Leanpub unter https://leanpub.com/ausnutzungvonpufferberlufenundumgehungvonschutzmechanismen gekauft werden.

ROP unter Windows: VirtualAlloc und WinExec

Durchgang: Vollständige ROP-Kette gegen eine gehärtete Binärdatei

Verwundbares Programm (gehärtet)

Schritt 1: Schutzmechanismen überprüfen und Gadgets finden

Schritt 2: libc-Adressen finden

Schritt 3: ROP-Kette konstruieren

Schritt 4: Python-Exploit-Skript

Schritt 5: In GDB verifizieren

Wichtige Erkenntnisse aus diesem Durchgang

Jump-Oriented Programming (JOP)

Signal-Oriented Programming (SROP)

Oriented Return Composition (ORC)

Kapitel 10: Informationslecks und Adresspreisgabe

Dieser Inhalt ist in der Leseprobe nicht verfügbar. Das Buch kann bei Leanpub unter https://leanpub.com/ausnutzungvonpufferberlufenundumgehungvonschutzmechanismen gekauft werden.

Warum ASLR die Ausnutzung erschwert

Dieser Inhalt ist in der Leseprobe nicht verfügbar. Das Buch kann bei Leanpub unter https://leanpub.com/ausnutzungvonpufferberlufenundumgehungvonschutzmechanismen gekauft werden.

Heap Spraying und deterministisches Speicherlayout

Dieser Inhalt ist in der Leseprobe nicht verfügbar. Das Buch kann bei Leanpub unter https://leanpub.com/ausnutzungvonpufferberlufenundumgehungvonschutzmechanismen gekauft werden.

Format-String-Informationspreisgabe

Dieser Inhalt ist in der Leseprobe nicht verfügbar. Das Buch kann bei Leanpub unter https://leanpub.com/ausnutzungvonpufferberlufenundumgehungvonschutzmechanismen gekauft werden.

Return-to-PLT und GOT-Überschreibung zum Lecken

Dieser Inhalt ist in der Leseprobe nicht verfügbar. Das Buch kann bei Leanpub unter https://leanpub.com/ausnutzungvonpufferberlufenundumgehungvonschutzmechanismen gekauft werden.

Praxisbeispiel: Mehrstufige Exploit-Kette mit ASLR-Umgehung

Verwundbares Programm (ASLR + Partial RELRO)

Verständnis des zweistufigen Angriffs

Python-Exploit-Skript

Verständnis der Offset-Berechnung

Verifizierung in GDB

Warum dieser zweistufige Ansatz funktioniert

Windows-ASLR-Umgehungstechniken

Partielle Überschreibungen und reduzierte Entropie

Cross-Process-Informationsbeschaffung

Kapitel 11: Moderne Verteidigungsmaßnahmen und Gegenmaßnahmen

DEP/NX: Nicht ausführende Speicherseiten

ASLR: Address Space Layout Randomization

Stack Canaries und ProPolice

PIE, RELRO und GOT-Schutz

SafeSEH und CFG auf Windows

Control Flow Integrity (CFI)

Intel CET: Shadow Stacks und Indirect Branch Tracking

ARM Pointer Authentication (PAC)

Sandboxing und Prozessisolierung

Kapitel 12: Umgehungsforschung und der Wettrüsten zwischen Exploits und Schutzmaßnahmen

Dieser Inhalt ist in der Leseprobe nicht verfügbar. Das Buch kann bei Leanpub unter https://leanpub.com/ausnutzungvonpufferberlufenundumgehungvonschutzmechanismen gekauft werden.

Der Zeitstrahl: Vom Stack Smashing bis zu modernen Schutzmaßnahmen

Dieser Inhalt ist in der Leseprobe nicht verfügbar. Das Buch kann bei Leanpub unter https://leanpub.com/ausnutzungvonpufferberlufenundumgehungvonschutzmechanismen gekauft werden.

Canary-Umgebungstechniken

Dieser Inhalt ist in der Leseprobe nicht verfügbar. Das Buch kann bei Leanpub unter https://leanpub.com/ausnutzungvonpufferberlufenundumgehungvonschutzmechanismen gekauft werden.

ASLR-Entropie-Analyse und Umgehung

Dieser Inhalt ist in der Leseprobe nicht verfügbar. Das Buch kann bei Leanpub unter https://leanpub.com/ausnutzungvonpufferberlufenundumgehungvonschutzmechanismen gekauft werden.

Full RELRO und GOT-Schreib-Einschränkungen

Dieser Inhalt ist in der Leseprobe nicht verfügbar. Das Buch kann bei Leanpub unter https://leanpub.com/ausnutzungvonpufferberlufenundumgehungvonschutzmechanismen gekauft werden.

CFI-Umgehungsforschung

CET-Umgehungsansätze

PAC-Umgehung auf ARM

Die Zukunft: Was kommt als Nächstes

Kapitel 13: Methoden der Schwachstellenforschung

Fuzzing-Strategien: Abdeckungsgeleitetes und mutationsbasiertes Fuzzing

Walkthrough: Einrichten und Durchführen einer Fuzzing-Kampagne

Zielprogramm: Verwundbarer JSON-ähnlicher Parser

Option A: Fuzzing mit AFL++

Option B: Fuzzing mit libFuzzer

Auswertung der Abdeckung und Optimierung der Kampagne

Crash-Triage und Root-Cause-Analyse

Binäranalyse: Symbolische Ausführung und konkolisches Testing

Walkthrough: Lösen einer Passwortprüfung mit Angr

Speichersanitizer: ASan, MSan, UBSan

Differenzfuzzing und plattformübergreifender Vergleich

Dieser Inhalt ist in der Leseprobe nicht verfügbar. Das Buch kann bei Leanpub unter https://leanpub.com/ausnutzungvonpufferberlufenundumgehungvonschutzmechanismen gekauft werden.

Verantwortliche Offenlegung und CVE-Zuweisung

Dieser Inhalt ist in der Leseprobe nicht verfügbar. Das Buch kann bei Leanpub unter https://leanpub.com/ausnutzungvonpufferberlufenundumgehungvonschutzmechanismen gekauft werden.

Kapitel 14: Sichere Programmierpraktiken und Compiler-Härtung

Sichere String- und Speicherfunktionen

Bereichsprüfung und sichere Integer-Arithmetik

Compiler-Flags: FORTIFY_SOURCE, StackProtector, CFProtection

Speichersichere Sprachen: Rust als Alternative

Code-Review-Techniken für Speichersicherheit

Statische Analysewerkzeuge: Clang Analyzer, Coverity, PVS-Studio

Kapitel 15: Exploit-Erkennung, Incident Response und Forensik

Erkennung von Pufferüberlauf-Angriffen in der Praxis

EDR und Verhaltensüberwachung für Speicherfehleranfälligkeiten

Core-Dump-Analyse und Post-Mortem-Debugging

Netzwerkebene-Exploit-Erkennung

Incident-Response-Playbooks für RCE-Ereignisse

Forensische Rekonstruktion des Zeitplans

Lehren aus großen Exploit-Vorfällen

Walkthrough: Forensische Analyse eines Stack-Overflow-Exploits

Szenario: Kompromittierter Webdienst

Schritt 1: Core-Dump-Analyse mit GDB

Schritt 2: Stack auf Ausnutzungsartefakte untersuchen

Schritt 3: Die verwundbare Funktion identifizieren

Schritt 4: Memory-Image-Analyse mit Volatility

Schritt 5: Netzwerkverbindungen aus dem Speicher extrahieren

Schritt 6: Injizierten Code aus dem Prozessspeicher extrahieren

Schritt 7: Rekonstruktion des Angriffszeitplans

Schritt 8: Zuordnung und Indikatoren für Kompromittierung

Wichtige Erkenntnisse aus dieser forensischen Analyse

Fazit

Literaturverzeichnis